

Bild C1: Radialgitter (Siemenssterne) N-W, W-N, N-Z und W-Z; PS-Operator:  $nnn0^*lin\ 1.0\ exp\ setcmykcolor$

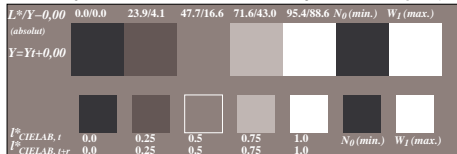


Bild C2: 5 visuell gleichabständige  $L^*$ -Graustufen +  $N_0$  +  $W_1$ ; PS-Operator:  $nnn0^*lin\ 1.0\ exp\ setcmykcolor$

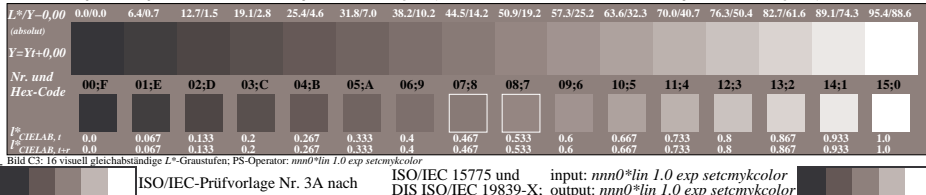


Bild C3: 16 visuell gleichabständige  $L^*$ -Graustufen; PS-Operator:  $nnn0^*lin\ 1.0\ exp\ setcmykcolor$

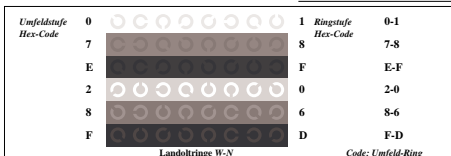


Bild C4: Landoltringe W-N; PS-Operator:  $nnn0^*lin\ 1.0\ exp\ setcmykcolor$

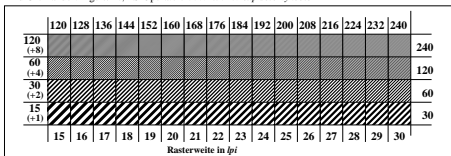


Bild C5: Linienraster unter 45° (oder 135°); PS-Operator:  $nnn0^*lin\ 1.0\ exp\ setcmykcolor$

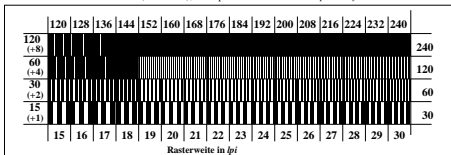
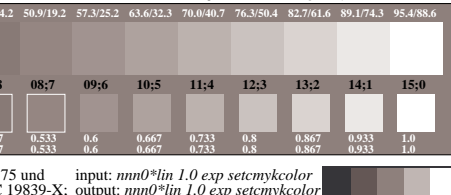


Bild C6: Linienraster unter 90° (oder 0°); PS-Operator:  $nnn0^*lin\ 1.0\ exp\ setcmykcolor$



ISO/IEC 15775 und DIS ISO/IEC 19839-X; input:  $nnn0^*lin\ 1.0\ exp\ setcmykcolor$  output:  $nnn0^*lin\ 1.0\ exp\ setcmykcolor$